

بهره گیری از شاخص های NDVI، VTCI و WDI در تجزیه و تحلیل اثرات شدت و مدت خشکسالی بر تراکم پوشش گیاهی در حوضه آبریز سیمینه رود

دریافت مقاله: ۹۹/۳/۱۰ پذیرش نهایی: ۹۹/۷/۱۰

صفحات: ۳۷۱-۳۹۲

پرویز ضیائیان فیروزآبادی: دانشیار گروه سنجش از دور و سیستم اطلاعات جغرافیایی دانشگاه خوارزمی، تهران، ایران^۱.

Email: p.zeaiean@gmail.com

چکیده

داده ها، تصاویر و محصولات متنوع سنجش از دور ماهواره ای از زمان تولید این نوع منابع اطلاعاتی، جایگاه خود را در مطالعات خشکی، خشکسالی و کشاورزی به اثبات رسانیده است. در این میان باندهای مرئی، مادون قرمز نزدیک و حرارتی در تولید محصولاتی چون پوشش گیاهی و دمای سطح زمین از پرکاربردترین آنها محسوب میشوند. در این تحقیق، از داده های سنجنده MODIS به منظور بررسی و یافتن ضرایب رابطه فضایی اندکس پوشش گیاهی-دمای سطح (NDVI-TS) و NDVI-ΔTS برای استخراج زمان وقوع خشکسالی کشاورزی از ژوئن تا اکتبر سال های ۲۰۰۷ تا ۲۰۱۰ در حوضه آبریز سیمینه رود استفاده شده است، شاخص شرایط دما-پوشش گیاهی (VTCI) و شاخص کمبود آب (WDI) که قادر به شناسایی تنش خشکی در مقیاس منطقه ای هستند از آنها استخراج شده اند. نتیجه این تحقیق نشان داد، که در هر دو شاخص، وضعیت تنش خشکی در سال های ۲۰۰۷ و ۲۰۰۸ بیشتر بوده است. همچنین بر اساس رابطه فضای NDVI-TS در تمام سال های ۲۰۰۷ تا ۲۰۱۰ شیب بالایی فضای مثلثی برای لبه گرم منفی است. این بدان معناست که با افزایش NDVI میزان LST کاهش یافته است در حالیکه برای لبه سرد شیب مثبت است. همچنین شیب به دست آمده از رابطه فضای NDVI-ΔTS برای خط خشک منفی است یعنی خط خشک یا خط حداقل تعریق-تعرق (ETR) یک همبستگی منفی با NDVI را نشان می دهد. در حالیکه برای خط مرطوب بالاخص در سال ۲۰۱۰ شیب مثبت بوده و در بقیه سال ها تغییر محسوسی دیده نمی شود. پژوهش حاضر نشان داد، مقدار آستانه VTCI برای تنش خشکی در سال ۲۰۰۷ و ۲۰۰۸ شدید بوده است.

کلید واژگان: داده های MODIS، خشکسالی کشاورزی، NDVI، VTCI، WDI، حوضه آبریز سیمینه رود.

۱. نویسنده مسئول: تهران، مفتاح جنوبی، دانشگاه خوارزمی، دانشکده علوم جغرافیایی، گروه سنجش از دور

مقدمه

بهره گیری از داده ها سنجش از دوری و فن آوری های تجزیه و تحلیل این داده ها، بویژه جهت مطالعه پویایی عوارض و پدیده های سطح زمین، از جمله زمینه های پرکاربرد و موفقیت آمیز این فن آوری ها و منابع غنی داده ای بوده است. اگر فرض شود که در چرخه فن آوری اطلاعات، که از اجزای متعددی چون داده ها، اطلاعات، دانش و تصمیم گیری تشکیل شده است، جز اول یعنی داده ها از اصلی ترین ارکان این چرخه بشمار رود، گزافه نگفته و زیاده نگارش نشده است. تولید داده های هواشناسی و اقلیمی، بدلیل گستردگی مناطق، هزینه های هنگفت و زمانبر بودن برداشتهای میدانی، همیشه یکی از چالشهای پیش رو دانشمندان و محققین تمامی رشته های نظری و کاربردی بوده و هست. داده های سنجش از دوری و فن آوری های مرتبط با آنها، به دلایل زیر از اهمیت و گستردگی استفاده فراوانی برخوردار شده است (Jensen, 2014):

۱. پوشش مکانی وسیع، متوسط و کم، از تصویر برداری پوشش یک نیمکره تا عرض پوشش ۱۱ کیلومتری.
۲. قدرت تفکیک مکانی مناسب برای کاربردهای متفاوت و متنوع، از ۱/۱ کیلومتر برای کاربردهای هواشناسی تا کمتر ۳۰ سانتی متری سنجنده های شناسایی نظامی.
۳. توان تکرار زمانی بینظیر از تصویربرداری ۵ دقیقه ای برای کاربردهای هواشناسی تا چند هفته ای برای پایش دگرگونی های بطئی و تدریجی.
۴. قدرت تفکیک طیفی از برداشتهای تک بانندی تا هزاران بانندی در پهنای طیف الکترومغناطیس.
۵. برداشت تصاویر با قابلیت دید از زوایای مختلف جهت تولید مدلهای رقومی ارتفاعی و قابلیت برنامه ریزی زمانی-مکانی در تصویر برداریها.
۶. امکان اخذ داده و تصویر در تمامی شرایط آب و هوایی و در همه زمانهای روز و شب توسط سنجنده های فعالی چون رادارها و لیدارها.

در این میان، و با توجه به پدیده گرمایش زمین و تغییر دمای زمین و در نتیجه شرایط اقلیمی شکننده و تقریباً غیر قابل پیش بینی، بهره گیری از این داده های متنوع و بهنگام در مطالعات اقلیمی و شرایط اقلیم کشاورزی را اجتناب ناپذیر ساخته است. بهر حال شناخت عمیق این داده های، از لحاظ ویژگیهای منحصر بفردشان، فراهم ساز استفاده بهینه از این منابع غنی در جهت تولید اطلاعات مناسب و بالا بردن دانش و تاثیر بالای آنها در تصمیم گیریها در سطوح مختلف محلی ملی و بین المللی است. محققین علم سنجش از دور با طراحی و توسعه سنجنده های متفاوت در تولید داده و اطلاعات مورد نیاز تحقیقات مرتبط با پایش های هواشناسی و اقلیمی از منحصربفردترین فن آوریهای چند دهه اخیر بوده است. از سنجنده های چون ^۱ AVHRR تعبیه شده در ماهواره های سری نوآ، که در تولید نقشه های تغییرات پوشش گیاهی، تغییرات دمای سطح زمین بطور گسترده ای در مطالعات هواشناسی و اقلیمی مورد استفاده قرار گرفته اند تا سنجنده ^۲ MODIS در سری ماهواره ترا و اکوا و

1 Advanced Very High Resolution Radiometer.

2 Moderate Moderate-Resolution Imaging Spectroradiometer.

سنجنده‌های ماهواره متئوست، سنجنده‌های ماهواره‌های سری لندست (RBV^1 ، MSS^2 ، TM^3 ، ETM^4 ، و OLI^5) و ماهواره‌های سری $SPOT 1-7$ (HRV^6) و $SPOT VEGETATION$ ، ماهواره‌های هندی سری IRS (LISS-1 و LISS-2)، ماهواره GRACE (IV, D, CARTOSAT, SEAWIFS)، ماهواره آیکنوس، کوئیک برد، اورب ویدو، ماهواره پلادیس و هزاران ماهواره‌ای که با فراهم ساختن زمینه‌های مطالعاتی متنوع به بشریت در مدیریت بهتر منابع زمینی و پایش پدیده‌هایی چون خشکسالی و نیازآبی خدمات شایانی نموده و در حال عرضه هستند.

پایش وضعیت پوشش گیاهی به خاطر ارتباط نزدیک آن با شرایط رطوبتی خاک، ابزار مناسبی برای پایش خشکسالی‌ها فراهم می‌کند. استفاده از داده‌های ماهواره‌ای در پایش تغییرات پوشش گیاهی، کاربرد فن سنجش از دور را در پایش خشکسالی‌ها توجیه می‌نماید. مجموعه ویژگی‌ها و امتیازات فوق‌موجب شده در چند دهه گذشته شاخص‌های استخراج شده از داده‌های سنجش از دور به عنوان یک فاکتور تکمیلی نقش مهمی را در بررسی‌ها و پایش‌های مربوط به خشکسالی ایفا نمایند در ادامه فهرستی از مهمترین این شاخص‌ها در جدول (۱) ارائه شده است:

جدول (۱). برخی از شاخص‌های گیاهی مشتق شده از داده‌های ماهواره‌ای (باعقیده ۱۳۸۶).

شاخص بهنجار شده اختلافی پوشش گیاهی ($NDVI^7$)	شاخص انحراف $NDVI$ از متوسط طولانی مدت آن (DEV^8)
شاخص شرایط گیاهی (VCI^9)	شاخص نسبت پوشش گیاهی (RVI^{10})
شاخص شرایط دما (TCI^{11})	شاخص نسبت خشکسالی (RDI^{12})
شاخص پوشش گیاهی استاندارد شده (SVI^{13})	شاخص مشخص کننده سریع خشکسالی (RID^{14})
شاخص خشکی دما-پوشش گیاهی ($TVDI^{15}$)	شاخص دما-پوشش گیاهی (VTI^{16})
شاخص سبزی نسبی (RG^{17})	شاخص اختلاف پوشش گیاهی (DVI^{18})
شاخص شرایط دما-پوشش گیاهی ($VTCI^{19}$)	شاخص اختلاف پوشش گیاهی نرمال تبدیل شده ($TNDVI^{20}$)
شاخص پوشش گیاهی بارز شده (EVI^{21})	شاخص عمودی پوشش گیاهی (PVI^{22})

1 Return Beam Vidicon.

2 Multispectral Scanner.

3 Thematic Mapper.

4 Enhanced Thematic Mapper.

5 Operation Linear Imaging.

6 High Resolution Visible.

7 Normalized Difference Vegetation Index

8. NDVI Deviation of long-term mean

9. Vegetation Condition Index

10. Ratio Vegetation Index

11 Temperature Condition Index

12. Ratio Drought Index

13. Standardized Vegetation Index

14. Rapid Indicator of the Drought

15. Temperature-Vegetation Dryness Index

16. Vegetation-Temperature Index

17. Relative Greenness

18. Difference Vegetation Index

19. Vegetation Temperature Condition Index

20. Transformed Normalized Vegetation Index

21. Enhanced Vegetation Index

22. Perpendicular Vegetation Index

خشکسالی، پدیده ای طبیعی که در مقیاسهای زمانی متعدد رخ داده و منطقه ای وسیع و همه بخش های چرخه هیدرولوژیکی را متاثر میسازد، مخاطره ای عظیم و تکرارشونده ایست که سبب خسارات زیاد به محصولات کشاورزی و جامعه میگردد (Mishra and Singh, 2010; Wu et al., 2018; Liu et al. 2018).

در سال های اخیر، بسبب گرم شدن زمین، خشکسالی در فراوانی های زمانی بیشتر و در نواحی وسیعتر بویژه در مناطق نیمه خشک نیمکره شمالی زمین در حال رخ دادن است (Yao et al., 2018; Dai, 2013; Liu et al., 2015; Wagner et al., 1999). این رخداد طبیعی به خشکسالی هواشناسی، کشاورزی، هیدرولوژیکی و اقتصادی اجتماعی دسته بندی شده است (Liu et al., 2018; Wilhite and Glantz, 1985).

باعقیده (۱۳۸۶) ضمن معرفی انواع خشکسالی ها، آنها را بتفضیل تشریح کرده است. امروزه بهره برداری تصاویر سنجش از دوری یکی از روش هایی است که برای شناسایی تغییرات پوشش گیاهی استفاده می شود. این فن آوری با اندازه گیری بازتاب خاص پوشش گیاهی، امکان شناخت تغییرات بازتاب ناشی از خشکسالی را در گیاهان فراهم می سازد (Bhuiyan et al., 2006).

برای برآورد خشکسالی یک منطقه روشهای متفاوتی وجود دارد که این روشها نیاز به داشتن داده های قابل اطمینان از گذشته دارند، ولی عدم دقت در برداشت داده ها، محاسبه خشکسالی را با مشکلاتی همچون عدم دقت در زمان و شدت وقوع آن مواجه ساخته است. لذا امروزه با فراهم شدن امکانات ماهواره ای و تصویر برداری های متعدد در بازه های زمانی متفاوت، می توان خشکسالی را با صرف هزینه ها و زمان کمتر و با دقت بالاتری اندازه گیری نمود (علوی پناه، ۱۳۸۲، ۱۷۰). داده های ماهواره ای برای تهیه نقشه و پایش سطح زمین از طریق ترکیب کاربردی LST^1 و $NDVI$ تفسیر مکانیکی تری ارائه می دهد و این داده ها منبع مهمی برای پایش خشکسالی هستند (Tian et al., ۲۰۱۶). در صورت وجود رطوبت در محصول، نسبت $LST/NDVI$ در طول زمان خشکسالی افزایش می یابد، زیرا شیب منفی نسبت $LST/NDVI$ به دلیل دمای پایین سطح است. در شرایط خشک و در زمان رطوبت کمتر خاک درجه حرارت برگهای در حال رشد می تواند به عنوان شاخص مناسبی برای تنش رطوبتی گیاه به خصوص از زمان ظهور خشکسالی شناخته شود. در طول خشکسالی و یا شرایط خشک (کمبود رطوبت خاک)، افزایش درجه حرارت برگ، نشان دهنده اختلال رطوبت گیاهان قبل از شروع خشکسالی است (Tang and Li, 2013). لازم به ذکر است که پاسخ تنش درجه حرارت تاج پوشش گیاه ممکن است حتی زمانی که گیاه سبز باشد نیز رخ دهد؛ زیرا بسته شدن روزنه ها می تواند به کاهش از دست دادن آب به وسیله تعرق و در نتیجه جریان شار حرارتی منجر شود (Carlson et al., 1994; Cunha et al., 2015; Han et al., 2006).

محققان، شاخص های سلامت گیاهان و خشکسالی را براساس نسبت های $NDVI-LST$ نشان داده اند؛ از جمله شاخص سلامت گیاهان VHI^2 (Kogan, ۱۹۹۵)، شیب $NDVI-LST$ (Nemani et al., 1992).

1 Land Surface Temperature

2 Vegetation Health Index

شاخص ذخیره آب پوشش گیاهی^۱ (Carlson et al., 1994)، شاخص کمبود آب^۲ (Moran et al., 1994)، شاخص شرایط دمای گیاهان (Wang et al., 2001)، شاخص کمبود رطوبت خاک^۳ (Keshavarz et al., 2014)، (Fashaei et al., 2015) در پژوهشی با استفاده از تصاویر سنجنده MODIS، به پهنه بندی شاخص کمبود آب (WDI) در محدوده مطالعاتی زیر مجموعه دشت مشهد در سال آبی ۹۱-۹۰ پرداختند سپس با استفاده از رابطه خطی این متغیر با رطوبت خاک، انطباق مناسبی را بین این دو متغیر به دست آوردند. ضریب همبستگی ۹۳٪ بین شاخص WDI و رطوبت خاک اندازه‌گیری شده در عمق ۵ سانتی متری از سطح خاک، تایید دیگری بر صحت نتایج به دست آمده است. (Sohrabinia et al., 2012) تغییرات دمایی را در برابر رطوبت خاک نزدیک سطح زمین، در دشت کانتربری در جنوب نیوزلند بررسی کرد. نتایج نشان داد که رابطه مناسبی میان دمای سطح زمین اندازه‌گیری شده و رطوبت خاک به دست آمده از سنجنده MODIS وجود ندارد و هر چقدر بازه های تصاویر سنجنده MODIS کوتاه تر باشد ضریب همبستگی بهتری با وضعیت رطوبتی خاک خواهد داشت. (Wang et al., 2001) مشخص کردند، VTCI بر اساس رابطه فضای مثلثی بین LST و NDVI برای نظارت بر خشکسالی می باشد. (Sandholt, et al., 2002) VTCI را برای ارزیابی وضعیت رطوبت خاک توسعه داد. Wan و همکاران در سال ۲۰۰۳ از LST و NDVI بعنوان محصولات MODIS، برای تولید شاخص درجه حرارت گیاهی (VTCI) برای نظارت بر خشکسالی در جنوب دشت بزرگ، ایالات متحده آمریکا استفاده کردند. (لاله و همکاران، ۱۳۹۰) با استفاده از فناوری سنسجش از دور و تصاویر سنجنده MODIS به ارزیابی خشکسالی هواشناسی حوضه آبریز سفیدرود و استخراج شاخص های NDVI، NDWI، DSI، VTCI پرداختند، نتایج نشان داد که شاخص VTCI در تعیین شرایط خشکسالی (زمان واقعی) به علت تلفیق خصوصیات حرارتی (دمای سطح زمین) و اطلاعات حاصل از بازتاب طیفی (شاخص های پوشش گیاهی) در قالب فرمول بندی مناسب، می تواند مؤثرتر باشد. (مفاخری و همکاران، ۱۳۹۵) به بررسی ارتباط بین خشکسالی و شاخص تفاضل نرمال شده پوشش گیاهی بر روی منطقه قروه و دهگلان کردستان با استفاده از تصاویر سنجنده MODIS پرداختند. نتایج نشان داد که بطور کلی مقادیر میانگین شاخص NDVI در سال های ۲۰۰۰، ۲۰۰۱ و ۲۰۰۸ پایین است که بعنوان سال های نمونه خشکسالی اکولوژیکی تعیین شده بودند. سال ۲۰۰۱ کمترین مقدار NDVI را داشت و غیر از مناطق مرکزی که زیر کشت آبی بوده، بقیه مناطق تقریباً پوشش گیاهی خود را از دست داده اند. شاخص VTCI که شامل شاخص NDVI و LST می شود، برای پایش دمای سطح پوشش گیاهی مناسب است. همچنین شاخص کسری آب (WDI) نیز یک معیار بسیار مهم ماهواره ای برای پایش شرایط رطوبت خاک است، که وابسته به NDVI و اختلاف درجه حرارت TS-Ta می باشد (Parida, R.B., 2006).
 دیلا به توزیع مختصری در ارتباط با برخی از این شاخص هاو دمای سطح زمین پرداخته می شود.

۱ Vegetation Supply Water Index

۲ Water Deficit Index

۳ Soil Wetness Deficit Index

شاخص بهنجار شده اختلافی پوشش گیاهی (NDVI)

این شاخص از معروف ترین، ساده ترین و کاربردی ترین شاخص هایی است که در زمینه مطالعات پوشش گیاهی شناخته شده است. اولین بار توسط (Rouse et al., 1974) طرح شد. فرایند محاسباتی ساده داشته و در مقایسه با دیگر شاخص ها دارای بهترین محدوده دینامیک می باشد. این شاخص بیشترین حساسیت را به تغییرات پوشش گیاهی داشته و در مقابل اثرات اتمسفری و اثرات زمینه خاک، بجز در مواردی که پوشش گیاهی کم باشد حساسیت کمتری دارد. رابطه (۱).

$$\text{NDVI} = (\text{NIR} - \text{RED}) / (\text{NIR} + \text{RED}) \quad \text{رابطه (۱)}$$

بطوریکه:

NIR بازتاب انرژی درباند مادون قرمز نزدیک و RED بازتاب انرژی در باند قرمز می باشد. از نظر تئوریک مقدار این شاخص در محدوده -۱ و +۱ می باشد ولی محدوده آن در عمل کمتر از ۱ و بیشتر از -۱ است. مقادیر این شاخص برای پوشش گیاهی متراکم به سوی عدد یک میل می کند و بر عکس ابرها، برف و آب مقادیر منفی NDVI را پدید می آورند و سنگها و خاکها بایر که واکنش های طیفی مشابه در دو باند مورد استفاده دارند می توانند مقادیر کوچک مثبت یا منفی نزدیک به صفر داشته باشند.

دمای سطح زمین (LST)

دمای سطح زمین (LST) که با T_s نمایش داده شده و به دمای لایه بالایی (پوستی) سطح معروف است، یکی از پارامترهای کلیدی فرآیندهای فیزیکی سطح زمین در مقیاسهای محلی و جهانیست و به ادغام نتایج تعاملات جریانات انرژی سطح زمین و اتمسفر میپردازد (Mannstein, 1987) و تابعی از انرژی خالص در سطح زمین است که به مقدار انرژی رسیده به سطح زمین، گسیلندگی^۲ سطح، رطوبت و جریان هوای اتمسفری بستگی دارد (حسینقلی زاده و ضیائیان فیروزآبادی، ۱۳۹۵). و می توان این دما را با استفاده از تابش مادون قرمز که از سطح زمین ساطع می گردد بوسیله معادله معکوس پلانک برآورد نمود. این پارامتر، برای خاکهای بدون پوشش، دمای سطح خاک و برای مناطق با پوشش گیاهی متراکم بعنوان دمای سطح خیمه گیاهی و برای مناطق با پوشش گیاهی با تراکم کم، بعنوان دمای سطح خاک، دمای خیمه گیاهی و تنه و شاخ و برگ گیاهان محسوب میگردند (Qin and Karnieli, 1999).

دمای سطح T_s دمای نزدیکترین لایه هوای مجاور برگ است و دمای هوا T_a همان دمای هوای اندازه گیری شده در محیط است. در مطالعات منطقه ای، دمای سطح زمین بعنوان ورودی مناسب در مدلسازی اجزای معادله تعادل انرژی و برآورد تبخیر و تعرق بکار گرفته می شود (مباشری و همکاران، ۱۳۸۶). بازیافت دمای سطح بابهیره گیری از باندهای مادون قرمز داده های ماهواره ای راه حل مناسبی برای استخراج معادله تعادل انرژی و بدست آوردن میزان تبخیر و تعرق می باشد. علاوه بر این، دمای سطح زمین در زمینه های تخمین نیاز آبی گیاه

1 Land Surface Temperature

2 Emissivity

(Jackson et al., 1977)، مطالعات خشکسالی‌ها و نم موجود در خاکها (Feldhake et al., 1996) کاربرد وسیعی یافته است.

این شاخص یک رویکرد نزدیک به واقع مربوط به پایش خشکسالی با استفاده از محصولات سنجنده (اسپکترورادیومتر تصویربردار با قدرت تفکیک متوسط) مادیس است، که از طریق شاخص اختلاف نرمال شده رشد گیاهی NDVI و دمای سطح زمین LST به دست می‌آید. به این رویکرد شاخص شرایط دمایی رشد گیاه (VTCI) گفته می‌شود، که بازتابش سطح زمین را با ویژگیهای دمایی ترکیب می‌کند VTCI. نه فقط به تغییرات NDVI در منطقه، بلکه به تغییرات LST پیکسل‌ها با یک مقدار ویژه NDVI نیز مربوط می‌گردد. این شاخص از طریق نسبت تغییرات LST در بین پیکسل‌ها با یک مقدار ویژه NDVI در یک منطقه مطالعاتی نسبتاً گسترده و بزرگ محسوب می‌شود یعنی صورت کسر مربوط به تفاوت بین حداکثر LST پیکسل‌ها و LST یک پیکسل است و مخرج کسر مربوط به تفاوت بین حداکثر و حداقل LST های پیکسل‌هاست. این شاخص در رابطه با خشکسالی‌ها دارای نمره کمتر و در رابطه با ترسالی‌ها دارای نمره بیشتر است. مقدار آن در بازه ای بین صفر تا یک قرار دارد. هراندازه مقدار VTCI کمتر باشد، میزان بروز خشکسالی بیشتر خواهد بود. به زبان ریاضی می‌توان طبق رابطه (۲) نوشت:

$$VTCI = \frac{LSTNDVI_{max} - LSTNDVI_i}{LSTNDVI_{max} - LSTNDVI_{min}} \quad \text{رابطه (۲)}$$

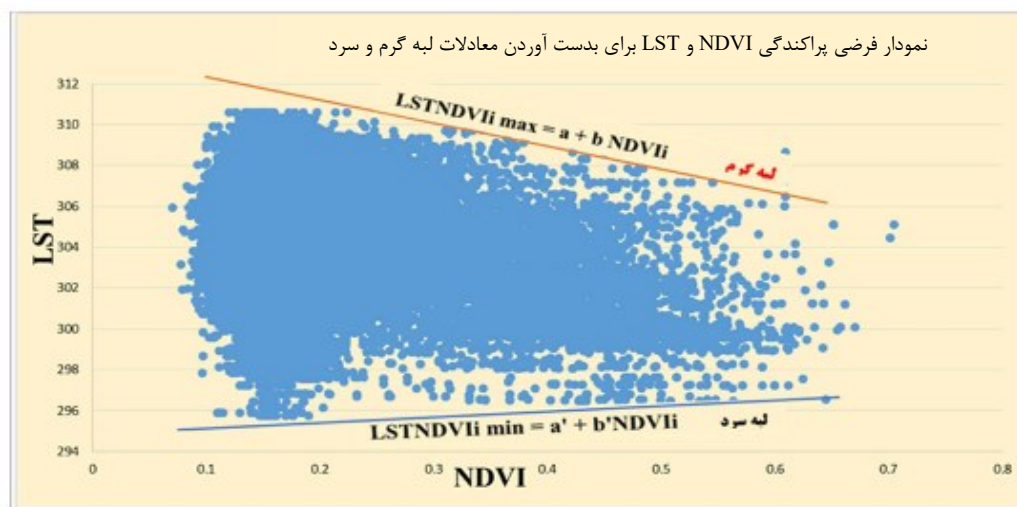
بطوریکه:

$LST_{NDVI_{Max}}$ و $LST_{NDVI_{Min}}$ به ترتیب محدوده‌های حداقل و حداکثر دمای سطح زمین با مقادیر NDVI یکسان در منطقه مورد مطالعه می‌باشد. و $LSTNDVI_i$ ورودی دمای سطح در پیکسل ناشناخته i است. جاییکه:

$$LSTNDVI_{i \max} = a + bNDVI_i \quad LSTNDVI_{i \min} = a' + b'NDVI_i$$

ضرایب a, b, a', b' می‌توانند از روی منطقه ای که به حد کافی بزرگ باشد تخمین زده شوند، جائیکه رطوبت خاک در لایه سطحی باید از نقطه حداقل تا نقطه توان زمین در سطح پیکسل اندازه‌گیری شود. بطور کلی، ضرائب از طریق اسکتر پلات‌های LST و NDVI در منطقه تخمین زده می‌شوند.

صورت کسر در معادله ۲ مربوط به تفاوت بین حداکثر LST پیکسل‌ها و LST یک پیکسل است، درحالیکه مخرج آن مربوط به اختلاف بین حداکثر و حداقل LST های پیکسل‌هاست. در شکل ۱، $Max LST$ می‌تواند "لبه گرم" یعنی جائیکه کمترین رطوبت خاک وجود داشته و گیاهان تحت شرایط خشکی قرار دارند، تلقی شود، و LST_{Min} می‌تواند بعنوان "لبه سرد" یعنی جائیکه هیچ محدودیت آبی برای گیاهان وجود نداشته باشد در نظر گرفته شود. (Gillies et al., 1997; Wang et al., 2018).



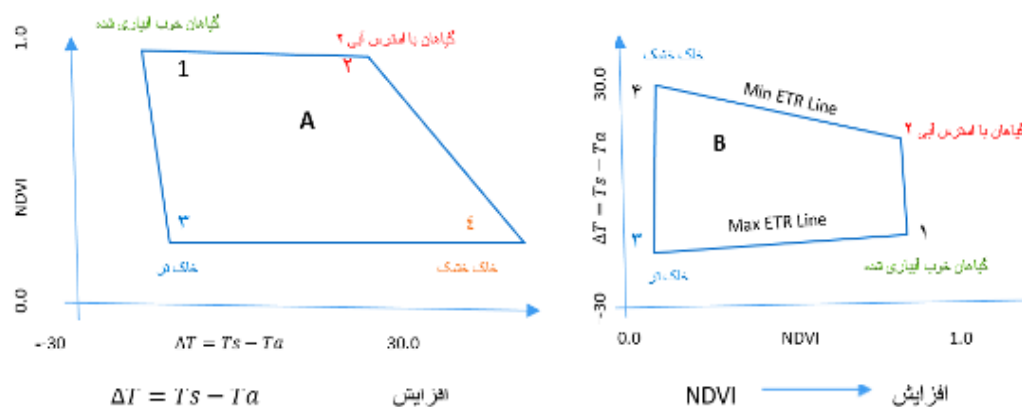
شکل (۱). پراکندگی NDVI و LST برای بدست آوردن معادلات لبه گرم و سرد (Gillies et al., 1997; Wang et al., 2018).

شاخص VTCI بر اساس یک فضای مثلثی NDVI-TS ساده شده استوار است که در آن "لبه سرد" (شرایط بدون استرس آبی) بعنوان یک خط در نظر می گیریم که کمترین دما را در محور NDVI (محور X) دارد و "لبه گرم" (شرایط عدم دسترسی به آب) بعنوان یک ارتباط منفی با NDVI تفسیر می کنیم. ضرایب a , b , a' , b' می توانند از روی نمودار پراکندگی برآورد گردند. در معادله ضرایب a , a' عرض محور مختصات بوده و ضرایب b , b' شیب لبه گرم و سرد هستند. لبه های خشک و مرطوب از طریق رگرسیون خطی برآورد میشوند.

شاخص کمبود آب (WDI)

این شاخص از طریق تجزیه و تحلیل روابط توزیع فضای کسری دمای سطحی پوشش گیاهی تعیین می شود (Shen, T., 2004). کمیت WDI میزان نسبی شار گرمای نهان از دست رفته سطح بوسیله تبخیر و تعرق است، جاییکه در آن سطح مخلوطی از پوشش گیاهی و خاک بایر است. در WDI برای شرایط آب آشامیدنی محصول عدد صفر در نظر گرفته می شود (مانند، یک سطح کاملاً مرطوب که در آن شار گرمای نهان فقط محدود به نیاز جو است). و عددیک برای آب غیرقابل دسترسی تعریف می شود (مانند یک سطح کاملاً خشک که در آن گرمای نهان از دست رفته به جو وجود ندارد). این تعریف مشابه شاخص CWSI است جایی که آن به سطح پوشش گیاهی محدود می شود. اگر چه WDI مشابه CWSI است، WDI همانطور که تعریف شده کاملاً محدود به تنش آب محصول نیست، زیرا برای محاسبه تبخیر خاک لخت (فاقد پوشش گیاهی) نیز استفاده می شود (Moran et al., 1994). موران شاخص کمبود آب (WDI) را بصورت دمای سطح منهای دمای هوا و شاخص NDVI برای برآورد وضعیت نسبی آب خاک مورد استفاده قرار داد، در این تحقیق توزیع دمای سطح منهای دمای هوا در یک زمان خاص، هنگامی که در برابر درصد پوشش گیاهی قرار می گیرد به شکل یک ذوزنقه نشان داده شد. (شکل ۲) توجه داشته باشید که برای بسیاری از محصولات، یک رابطه خطی بین درصد پوشش و شاخص های پوشش گیاهی (مانند شاخص NDVI) وجود دارد، بنابراین شاخص WDI می تواند به جای اندازه گیری مستقیم از

درصد پوشش استفاده کند. قسمت بالا سمت چپ دوزنقه مربوط به آب آشامیدنی محصول در ۱۰۰ درصد پوشش گیاهی و سمت راست بالا مربوط به یک محصول غیر تعرق در ۱۰۰ درصد پوشش گیاهی (به ترتیب نقاط ۱ و ۲) است. این دو مورد بالاترین و پایین‌ترین بخش دوزنقه هستند. قسمت پایین دوزنقه (خاک خالص) به سطح خاک مرطوب و خشک محدود می‌شود. این موارد همچنین می‌توانند با استفاده از مفاهیم تعادل انرژی محاسبه شوند. مفهوم WDI در شکل (A۲) نشان داده شده است. از طریق دیگر WDI را همانطور که در شکل (B۲) نشان داده شده، به ترتیب با معکوس کردن محور x و محور y به عنوان NDVI و تفاوت دما می‌توان تغییر داد. خط ETR تبخیر واقعی است و می‌تواند از طریق استفاده از دمای سطحی و شاخص scatter grams پوشش گیاهی منتج شود (Troofleau and Segard, 1998).



شکل ۲ توصیف دوزنقه اندکس کمبود آب (A) و معکوس آن (B) (برگرفته از Moran et al., 1994).

این دوزنقه تلفیقی از شاخص دورسنجی پوشش گیاهی و تفاضل داده‌های دمای سطح زمین با دمای هوا می‌باشد. شاخص پوشش گیاهی NDVI در لبه‌های چپ و راست دوزنقه قرار می‌گیرد، بطوریکه اعداد ۱ و ۳ برای بیان شرایط رطوبت خاک و آب کافی در دسترس محصول می‌باشد و اعداد ۲ و ۴ در دوزنقه برای بیان خشکی خاک و میزان شدت تبخیر بالقوه آب مصرفی و تنش محصول می‌باشد (Luquet, et al., 2004).

دمای سطح زمین (LST) که یکی از پارامترهای کلیدی در فیزیک فرآیندهای سطح زمین در مقیاس‌های منطقه‌ای و جهانی است، ترکیبی از نتایج حاصل از تمام فعل و انفعالات سطح جو و شار انرژی بین هوا و زمین می‌باشد (Mannstein, 1987). گسیلندگی انرژی سطح می‌تواند در تفکیک پوشش گیاهی کهنه نیز استفاده شود (French et al., 2000). LST را می‌توان همچنین برای نظارت بر خشکسالی و سطح برآورد رطوبت خاک استفاده کرد (Feldhake et al., 1996). در مطالعه‌ای از دمای تاج T_c (با اندازه‌گیری دماسنج مادون قرمز) منهای دمای هوا T_a به عنوان شاخص وضعیت آب محصول استفاده گردید. پژوهشگران آن را تفاوت $T_c - T_a$ در "تنش-درجه-روز" نامیدند و این پارامتر مربوط به عملکرد و نیاز آب در محصول است (Idso et al., 1981). در تحقیقی دیگر شاخص کمبود آب (WDI) برای محاسبات نرخ تبخیر و تعرق بکار برده شد (Moran et al., 1994). معادله محاسبه شاخص کمبود آب بشرح رابطه (۳) می‌باشد (Verstraeten et al., 2001).

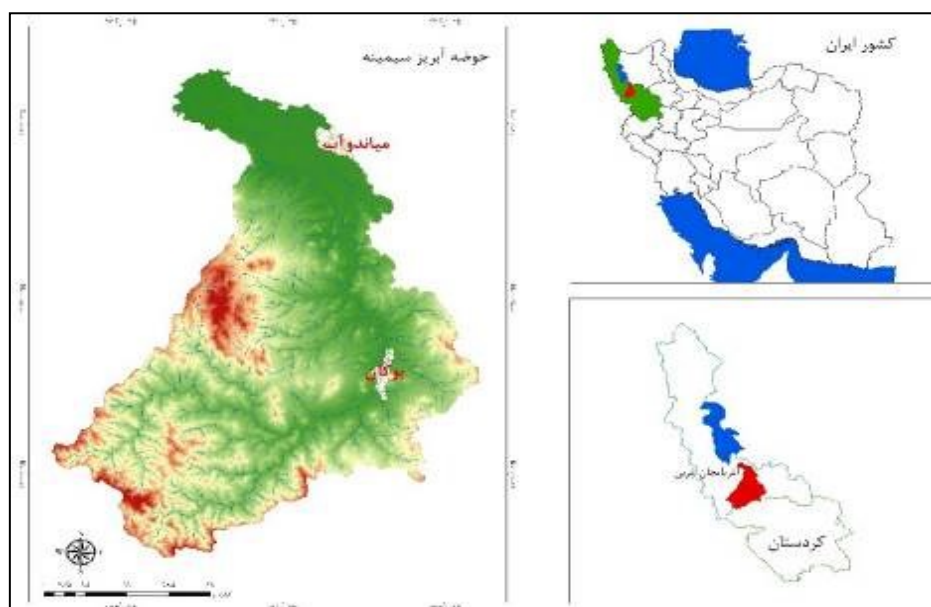
$$\text{WDI} = 1 - \frac{\text{ET}}{\text{ETm}} \approx \frac{\Delta \text{LST min} - \Delta \text{LST}}{\Delta \text{LST min} - \Delta \text{LSTmax}} \approx \frac{a \text{ min NDVI} + b \text{ min } \Delta \text{LST}}{(a \text{ min} - a \text{ max}) \text{ NDVI} + (b \text{ min} + b \text{ max})} \quad \text{رابطه (۳)}$$

این تحقیق در نظر دارد ضمن بررسی، رابطه بین شاخص بهنجار شده تفاوتی گیاهی و دمای سطح و اختلاف دما NDVI-Ts و $\text{NDVI-}\Delta T$ ، به شناسایی تنش خشکی در مقیاس منطقه ای با استفاده از شاخص های VTCl^1 (شاخص شرایط درجه حرارت پوشش گیاهی) و WDI^2 (شاخص کمبود آب) پرداخته و زمان وقوع خشکسالی کشاورزی را استخراج نماید.

روش تحقیق

معرفی منطقه مورد مطالعه

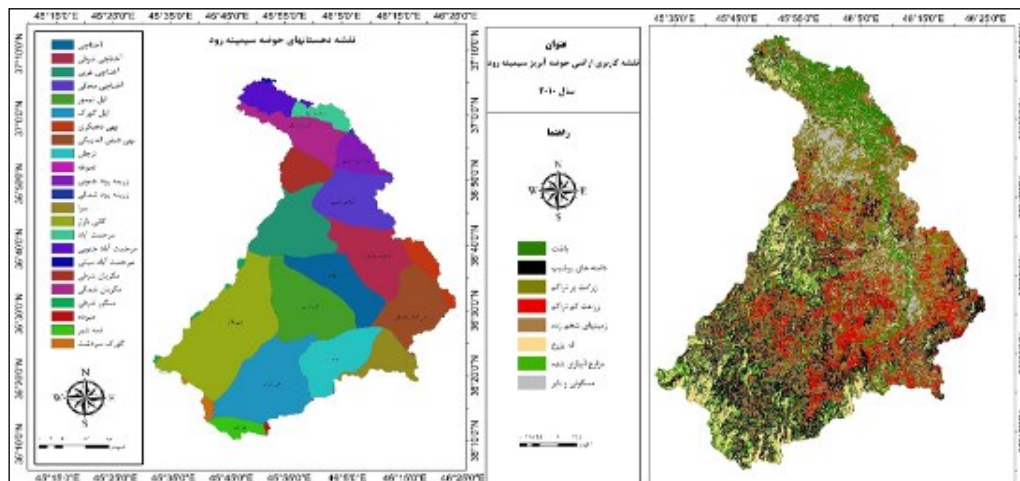
حوضه آبریز سیمینه رود از زیرحوضه های دریاچه ارومیه بوده که در موقعیت جغرافیایی $45^{\circ}32'$ تا $46^{\circ}24'$ طول شرقی و $36^{\circ}10'$ تا $37^{\circ}03'$ عرض شمالی، با وسعتی معادل ۳۹۰۰ کیلومترمربع، در غرب زیرحوضه زرينه رود و شرق زیرحوضه جنوب دریاچه ارومیه قرار گرفته و رودخانه اصلی آن سیمینه رود است. شکل (۳). این رودخانه از دامنه های شمالی کوه های دوسر، خسرو، نیستان، ابراهیم جلال و مامسوار سرچشمه می گیرد و پس از دریافت شاخه های متعدد در مسیر خود که در امتداد جنوب به شمال است، از غرب بوکان عبور می کند و در جنوب غربی میاندوآب از طریق کانال احداث شده به چاله حیدرآباد نرده در دریاچه ارومیه می ریزد. اشکال (۴ و ۵).



شکل (۳). حوضه آبریز سیمینه رود در استان آذربایجان غربی

^۱ Vegetation temperature condition index

^۲ Water deficit index



شکل (۴). نقشه کاربری اراضی شکل (۵). نقشه دهستانهای حوضه آبریز سیمینه رود

از داده ها و نرم افزارهای زیر جهت نیل به اهداف این تحقیق بهره گرفته شد:

۱. محصولات ترکیبی ۸ روزه دمای سطح زمین با قدرت تفکیکی یک کیلومتر و ۸ روزه بازتاب سطح با قدرت تفکیکی ۲۵۰ متر در بازه زمانی (۲۰۰۷ لغایت ۲۰۱۰) در پنج ماه متوالی ژوئن تا اکتبر از سنجنده MODIS مستقر بر روی ماهواره Terra.
۲. از نرم افزارهای ENVI۵,۱ و ARC GIS۱۰,۳ برای تجزیه و تحلیل استفاده شد. شکل (۶) نشاندهنده روند کلی این تحقیق می باشد.



شکل (۶). روند نمای تحقیق "اثرات شدت و مدت خشکسالی بر تراکم پوشش گیاهی در حوضه آبریز سیمینه رود"

به استناد روندنمای شکل (۶) ابتدا دو محصول زیر از سنجنده مادیس در این پژوهش برای استخراج تصاویر LST و NDVI دانلود گردید.

1. MODIS/Terra Land Surface Temperature (LST)

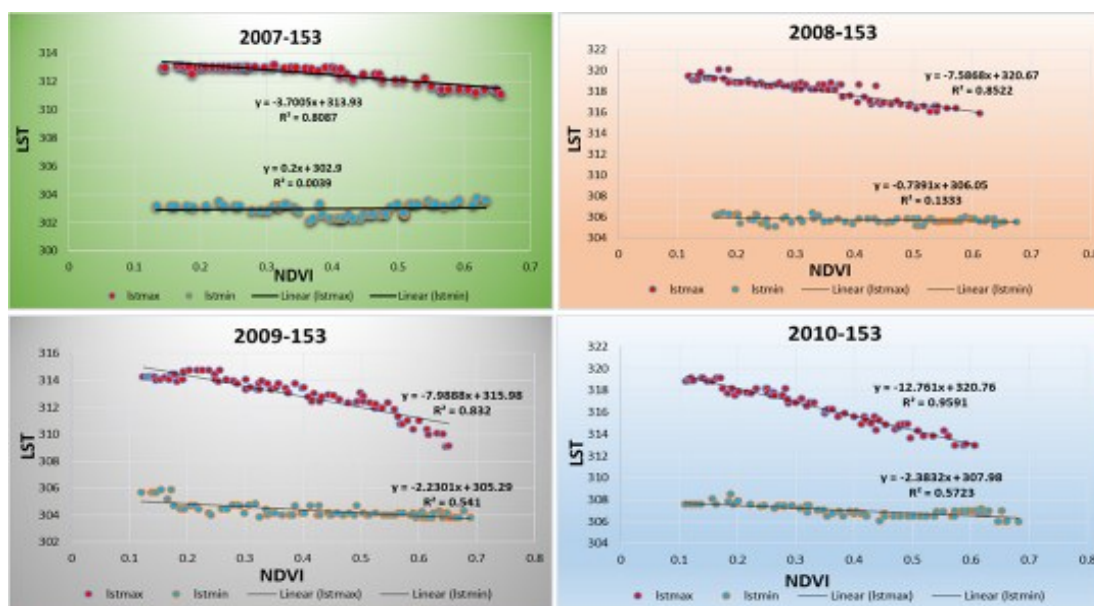
2. MODIS/Terra Surface Reflectance (NDVI)

بعد از دانلود این تصاویر، پیش پردازش هایی مانند: تبدیل تصاویر به مقیاس مربوطه، برش آنها براساس محدوده منطقه مورد مطالعه، محاسبات تغییر کد آنها و استخراج و محاسبه شاخص های VTCI،NDVI و WDI انجام گردید.

شاخص VTCI (رابطه ۲) به طور فیزیکی به صورت نسبت تفاوت دما بین پیکسل ها تعریف می شود. VTCI یک شاخص بی بعد است و از صفر تا یک متفاوت می باشد. روند این شاخص در نتیجه مدل سازی انرژی و انتقال ماده بین جو و سطح زمین می باشد. دامنه ی مقادیر شاخص VTCI بین صفر تا یک است که مقادیر پایین شاخص VTCI مبین احتمالات بالای خشکسالی می باشد. شاخص WDI بر اساس معادله ارائه شده در رابطه (۳) برای داده های منطقه مورد مطالعه استخراج شد.

نتایج

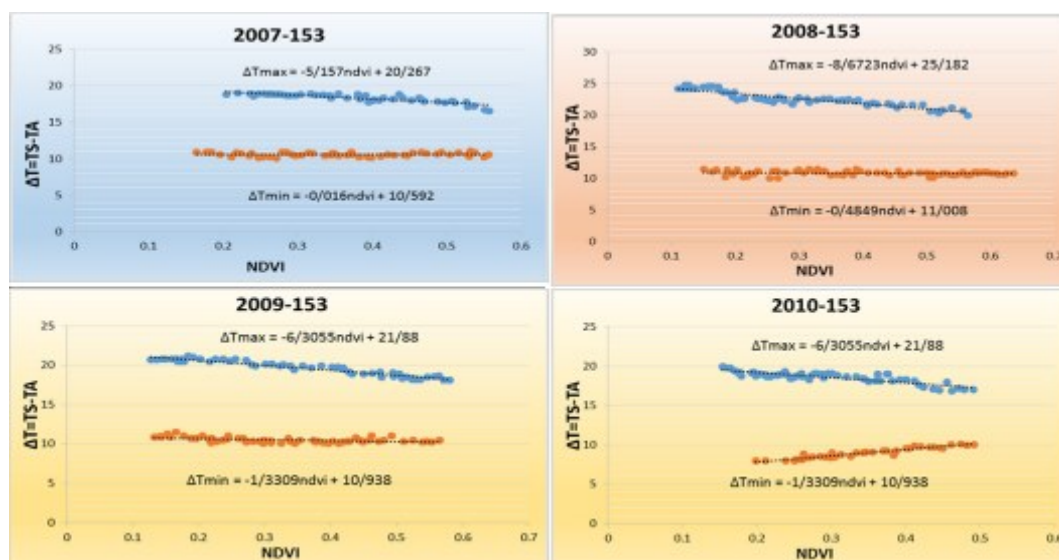
شاخص شرایط دمایی پوشش گیاهی (VTCI) بر اساس رابطه فضای مثلثی NDVI-TS محاسبه شده است، نمودار دو بعدی رابطه پراکندگی بین پیکسل ها را نشان می دهد. پیکسل های لبه گرم و سرد به عنوان معادله خطی رگرسیون برای محاسبه VTCI با استفاده از نرم افزار ENVI بصورت داده های ریاضی استخراج شده اند، که در آن دمای سطح زمین (LST) و تصاویر شاخص NDVI به عنوان یک پارامتر ورودی برای معادلات VTCI استفاده شده است. شکل (۷).



شکل (۷). لبه گرم و سرد از رابطه فضایی NDVI-TS روز ژوئیه سی ۱۵۳ در حوضه آبریز سیمینه رود (۲۰۱۰-۲۰۰۷)

در تمام این سال‌ها مشاهده می‌شود که شیب برای لبه گرم منفی است و این نشان می‌دهد که تراکم پوشش گیاهی نسبت به دمای سطح زمین بیشتر بوده و دما را تعدیل کرده است درحالی‌که برای لبه سرد بصورت جزئی منفی یا تغییر محسوسی ندارد. شیب لبه گرم نشان می‌دهد که هنگامی که مقدار NDVI برای هر فاصله زمانی افزایش می‌یابد، دمای حداکثر کاهش می‌یابد شیب در لبه سرد نشان می‌دهد هنگامی که مقدار NDVI افزایش می‌یابد، دمای حداقل در اکثر سال‌های مورد مطالعه اندکی کاهش می‌یابد به جز سال ۲۰۰۷ که شیب لبه سرد روند ثابتی داشته است. شکل (۷).

برای استخراج نتایج شاخص WDI ابتدا داده‌های ایستگاههای سینوپتیک منطقه (بوکان، مهاباد، میاندوآب وسقز) به روش کربجینگ درون یابی شدند، در ادامه از تفاضل تصاویر TS ماهواره و Ta درون یابی شده ایستگاههای سینوپتیک منطقه، ΔT به دست آمد، در ادامه نمودارهای پراکندگی خط مرطوب و خط خشک در نرم افزار EXCL ترسیم شد. شکل (۸).

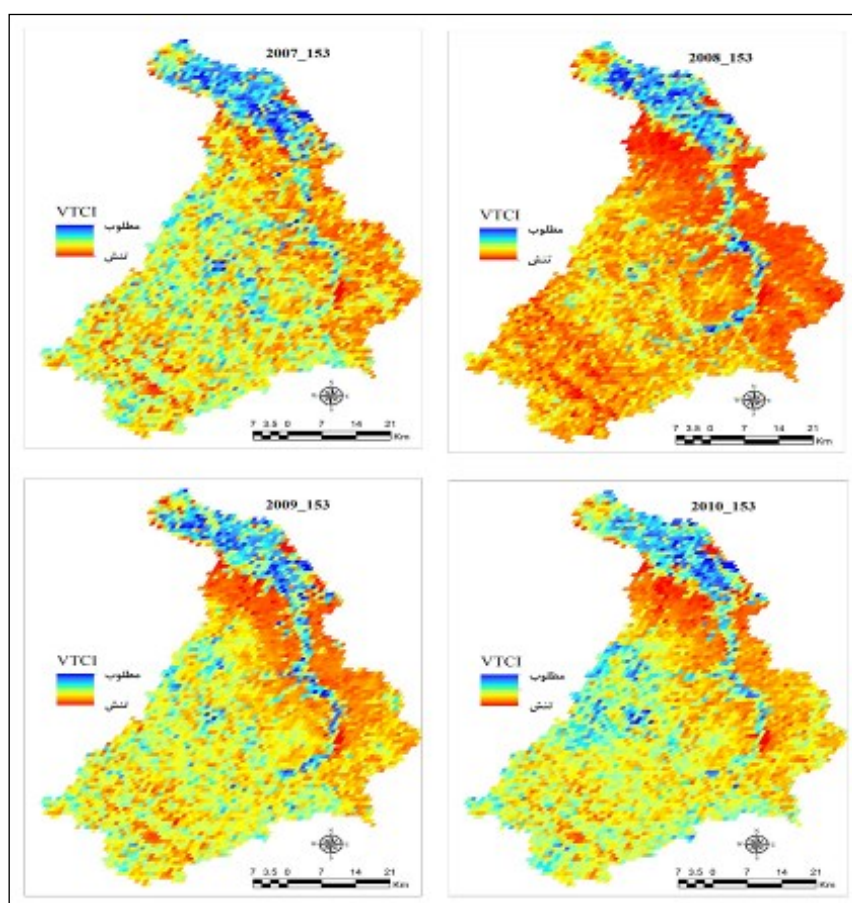


شکل (۸). لبه خشک و مرطوب از رابطه فضایی NDVI- ΔT روز ژوئیه‌سی ۱۵۳ در حوضه آبریز سیمینه رود (۲۰۰۷-۲۰۱۰)

شیب به دست آمده از رابطه فضایی NDVI- ΔT برای خط خشک منفی است درحالی‌که شیب به دست آمده برای خط مرطوب مثبت و در بقیه سال‌ها تغییر محسوسی نداشته است. شیب منفی نشان می‌دهد که ΔT_{max} با افزایش شاخص NDVI کاهش می‌یابد و شیب مثبت نشان می‌دهد که ΔT_{min} با افزایش شاخص NDVI افزایش می‌دهد.

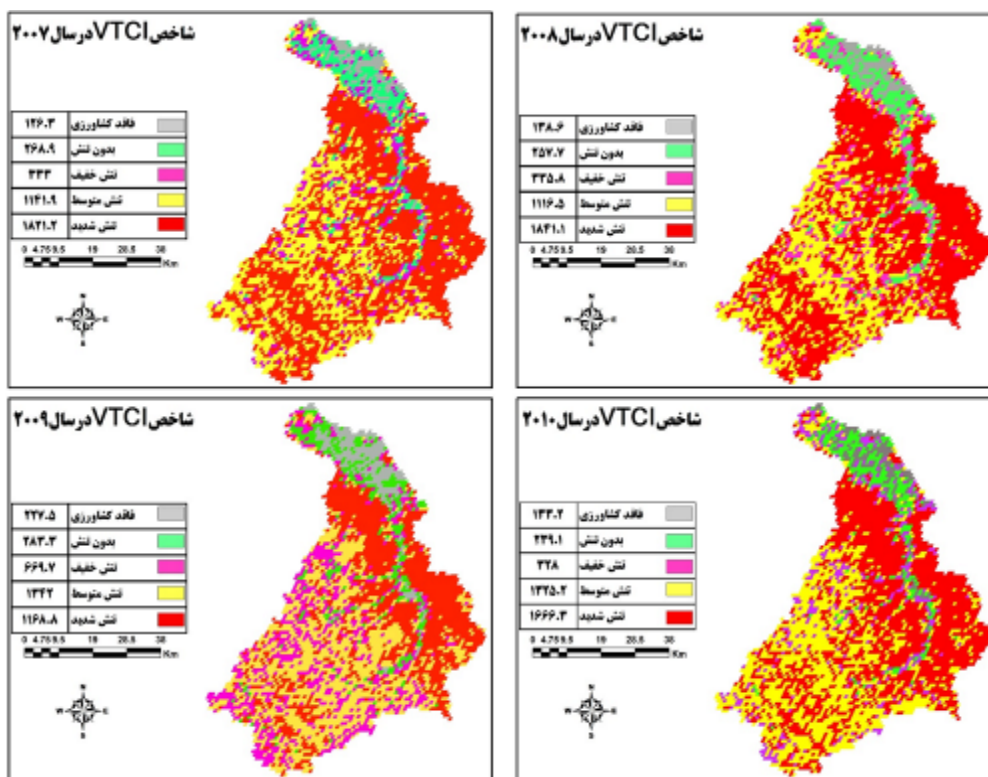
مقدار کمتر VTCI وضعیت تنش را مشخص می‌کند درحالی‌که مقدار بالای آن نشان دهنده شرایط مطلوب در منطقه است. بازه زمانی مورد مطالعه، نشان می‌دهد سال‌های ۲۰۰۷ تا ۲۰۰۸ در منطقه مورد مطالعه مقدار VTCI کمتری نسبت به سال‌های ۲۰۰۹ تا ۲۰۱۰ دارند، یعنی مقدار تنش بیشتری دارند. مقدار پایین VTCI تمایل به تنش دارد و مقدار بالای آن نشان دهنده شرایط مطلوب می‌باشد. مقدار VTCI پایین، نسبت به مقدار بالاتر آن در نقشه‌های به دست آمده بیشتر دیده می‌شود که کاملاً وضعیت نسبی مساعد تنش خشکی را در

کل منطقه مورد مطالعه بیان می کند. به طور کلی سیمینه سفلی یعنی بالادست شهرستان بوکان و تا حدودی دشت حاجی آباد میاندوآب مناطقی هستند که در طول سال های ۲۰۰۹ تا ۲۰۱۰ شرایط تنش دمایی کمتری را نشان می دهند. این مناطق یعنی سیمینه رود سفلی (بین میاندوآب و بوکان) VTCI بیشتری نسبت به مناطق سیمینه رود وسطی (بین مهاباد و بوکان) و سیمینه رود علیا (بین بوکان و سقز) نشان می دهند. مناطق شمالی تر با مقدار بالای VTCI دارای تنش رطوبتی کمتر هستند و شرایط مطلوبی دارند. VTCI بالاتر این مناطق به دلیل داشتن امکانات آبیاری است که پوشش گیاهی تمایل به تنش رطوبت ندارد. علاوه بر این، قسمتهای زیادی از میاندوآب غربی پوشیده از باغات میوه و مزارعی است، که با چاه آبیاری می شوند. شکل (۹).



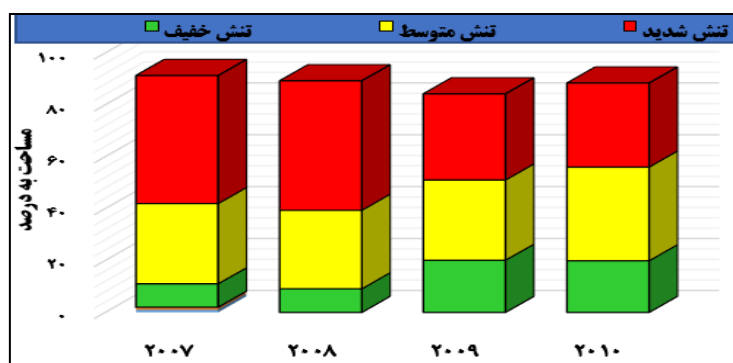
شکل (۹). نقشه VTCI منطقه مورد مطالعه در بازه زمانی (۲۰۰۷-۲۰۱۰)

با توجه به شکل (۹) می توان نتیجه گرفت که بین تراکم پوشش گیاهی و دمای سطح استخراج شده از تصاویر ماهواره ای رابطه عکس و همبستگی منفی وجود دارد یعنی در جاهایی که پوشش گیاهی بیشتر است دمای کمتری را مشاهده می کنیم. بیشترین دما با مقدار ۴۴/۰۲ در جه سانتی گراد در سال ۲۰۰۸ و بیشترین تراکم پوشش گیاهی با مقدار ۰/۸۲ در سال ۲۰۱۰ مشاهده می شود.



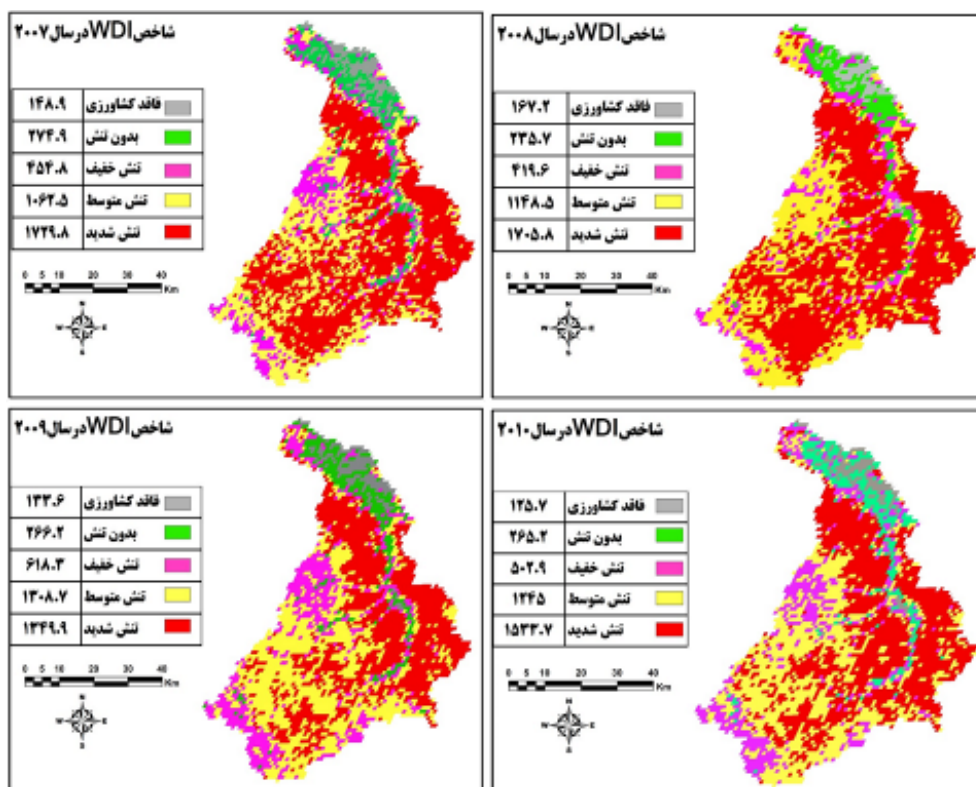
شکل (۱۰). پراکنش شدت خشکسالی در طول ۲۰۰۷-۲۰۱۰ بر اساس VTCI

پراکنش دمای سطح در طول سال‌های مورد مطالعه نشان می‌دهد که بیشترین میزان مساحت تحت تنش شدید مربوط به سال‌های ۲۰۰۷ و ۲۰۰۸ به ترتیب به میزان ۱۸۲۱۰۲ و ۱۸۴۱۰۱ کیلومتر مربع می‌باشد. شکل (۱۰). تغییرات زمانی ماه ژوئن (روز ولیدی ۱۵۳) تا ماه اکتبر (روز ولیدی ۲۸۱) نشان می‌دهد مقدار VTCI یعنی شرایط دمای سطح پوشش گیاهی بتدریج کاهش یافته است دلیل آن کاهش تراکم پوشش گیاهی از ژوئن تا اکتبر می‌باشد. شکل (۱۱).



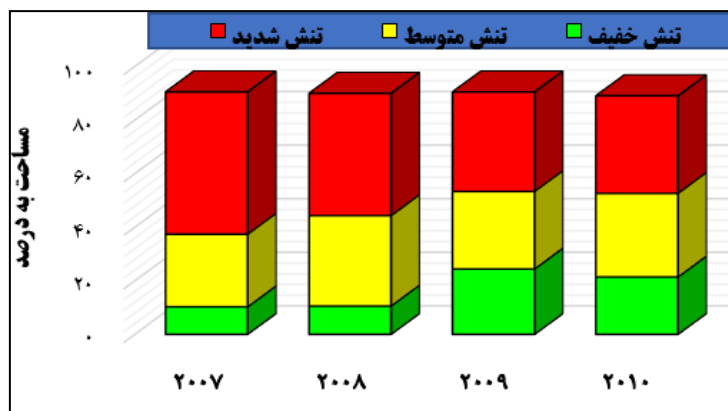
شکل (۱۱). میزان تنش خشکی کشاورزی منطقه در شرایط VTCI در روز ولیدی ۱۵۳ بر حسب درصد

الگوی فضایی WDI نیز در حوضه آبریز سیمینه رود از حوضه اصلی دریاچه ارومیه برای روز ژوئیه ۱۵۳ در طول سال ۲۰۰۷ تا ۲۰۱۰ مورد بررسی قرار گرفت. شکل (۱۲) مقدار کمتر WDI نشان دهنده شرایط مطلوب است و درحالیکه مقدار بالاتر VTCI نشان دهنده شرایط مطلوب در آن منطقه بود و دامنه این شاخص درست نقطه مقابل شاخص VTCI است.



شکل (۱۲). شرایط تنش رطوبتی در سال ۲۰۰۷ تا ۲۰۱۰ براساس شاخص WDI در حوضه آبریز سیمینه رود

مساحت زمینهای کشاورزی در منطقه مورد مطالعه با پوشاندن ویژگیهای دیگر طبقه بندی استخراج شده است و بر اساس مقدار آستانه VTCI، طبقات مختلف خشکسالی یعنی تنش کم، تنش متوسط و تنش شدید، فقط برای روزهای ژوئیه بحرانی (۱۵۳) در هر سال محاسبه شده است. پراکنش شرایط رطوبتی سطح در طول سال های مورد مطالعه نشان می دهد که بیشترین میزان مساحت تحت تنش شدید رطوبتی مربوط به سال های ۲۰۰۷ و ۲۰۰۸ به ترتیب به میزان ۱۷۰۵,۸ و ۱۷۲۹,۸ کیلومتر مربع می باشد. شکل (۱۳).



شکل (۱۳). منطقه کشاورزی در شرایط تنش خشکی WDI در روزژولیوسی ۱۵۳ برحسب درصد

با توجه به نقشه های به دست آمده از شاخص WDI می توان مشاهده کرد که در طول ۲۰۰۷ تا ۲۰۱۰ الگوی مکانی WDI، شبیه به شاخص VTCI است. با اینکه الگوهای فضایی هر دو شاخص مشابه هستند، ولی شاخص WDI طبقه متمایزی از این وضعیت را ارائه می دهد. در کل حوضه آبریز سیمینه رود شرایط تنش رطوبتی در سال ۲۰۰۷ بسیار شدید و سال ۲۰۰۸ شدید بوده ولی از سال ۲۰۰۹ تا ۲۰۱۰ بتدریج کمتر شده است. در سیمینه وسطی و نیز قسمتی از سیمینه علیا مقدار WDI بالاست (کسری رطوبت خاک شدید است) و این نشان می دهد که تمام نواحی بین بوکان و مهاباد در معرض ابتلا به تنش رطوبتی قرار دارند. مناطق شمالی بوکان شامل منطقه سیمینه سفلی و دشت حاجی آباد میاندوآب شرایط نسبتاً مطلوبی را نشان می دهند در سال ۲۰۰۷ کلیه نواحی سیمینه وسطی مانند آختاچی شرقی، غربی و شمالی مقدار WDI بالاتری را نشان می دهد که شبیه به شرایط شاخص VTCI در ۲۰۰۸ است. برای مناطق جنوبی تر حوضه سیمینه مانند نواحی ایل گورک و کانی بازار مقدار WDI نسبت به سال های ۲۰۰۹ تا ۲۰۱۰ بالاتر است.

نتیجه گیری و پیشنهادات

مساحت زمینهای کشاورزی در منطقه مورد مطالعه با پوشاندن ویژگیهای دیگر طبقه بندی استخراج شده است و بر اساس مقدار آستانه VTCI، طبقات مختلف خشکسالی یعنی تنش کم، تنش متوسط و تنش شدید، فقط برای روزهای ژولیوسی بحرانی (۱۵۳) در هر سال محاسبه شده است.

نتایج به دست آمده نشان می دهد که به طور کلی حوضه آبریز سیمینه رود در طول سال های ۲۰۰۷ و ۲۰۰۸ تنش خشکی (شدت خشکسالی) بیشتری داشته است. بیشترین تنش خشکی در سال های ۲۰۰۷ و ۲۰۰۸ دیده می شود بطوریکه با احتساب تنش متوسط و شدید در بیش از ۸۰ درصد از زمینهای کشاورزی منطقه تنش خشکی روی داده است. تغییرات زمانی (مدت خشکسالی) نیز در مناطق کشاورزی در معرض تنش خشکی مشاهده شده است که بصورت نمودار میله ای رسم گردیده است.

در طول سال ۲۰۰۷ تنش خشکی از روز ژولیوسی ۱۵۳ تا ۲۸۱ جهتی افزایشی داشته است و در مقایسه با سال های دیگر بیشترین منطقه تحت تنش خشکی را در بر می گیرد. در سال ۲۰۰۸ منطقه تنش خشکی از روز

ژولیوسی ۱۵۳ تا ۲۱۷ افزایش داشته و سپس تا روزژولیوسی ۲۸۱ کاهش یافته است. در سال ۲۰۱۰ منطقه تنش خشکی در روز ژولیوسی ۱۵۳ نسبت به بقیه روزها یعنی ۱۸۵ تا ۲۸۱ کمتر است ولی در روز ۱۵۳ سال ۲۰۰۷ بالاترین تنش خشکی نسبت به بقیه سال ها مشاهده می شود. البته تنش خشکی منطقه در ۲۰۰۹ تا ۲۰۱۰ از روز ژولیوسی ۱۵۳ تا ۱۸۵ کمتر بوده و روند کاهشی داشته است. به طور کلی مشاهده می شود که روز ژولیوسی بحرانی ۲۸۱ (اکتبر) بیشترین درصد از منطقه تحت تنش را در همه سال ها نشان می دهد روز ژولیوسی بحرانی ۱۵۳ (ژوئن) نتیجه بهتری از طبقات مختلف خشکسالی در منطقه را بصورت درصدی توصیف می کند و نشان می دهد که منطقه کشاورزی متأثر از خشکسالی در طول ۲۰۰۹ و ۲۰۱۰ کمتر بوده، درحالیکه در طول سال های ۲۰۰۷ و ۲۰۰۸ بیشتر تحت تنش بوده است.

تجزیه و تحلیل کلی نشان می دهد که اندازه و وسعت تنش، هم بر اساس شاخص VTCI (شرایط دمایی) و همچنین شاخص WDI (کمبود آب) از شرایط مطلوب به شرایط تنش مشابه است و نشان می دهد که بطور کلی در سال ۲۰۰۷ تنش رطوبتی بر منطقه مورد مطالعه بیشتر بوده و در سال ۲۰۰۸ شرایط تنش به اوج رسیده است ولی درسال های بعد بتدریج کمتر شده است.

توصیه های زیر برای ارتقاء روش شناسی در این مطالعه به عنوان یک ابزار موثر پایش خشکسالی به شرح زیر پیشنهاد

می گردد:

۱- رویکرد بهره گیری از داده های ماهواره ای، اطلاعات فضایی بالایی از تنش خشکی به ویژه در پایش خشکسالی کشاورزی ارائه می دهد. در شناسایی مقدار آستانه شاخص VTCI و WDI نیاز به تحقیق بیشتر در رابطه با کشاورزی دیم و زراعت آبی برای پایش خشکسالی کشاورزی می باشد. برای تحقیق بیشتر، نیاز به مطالعه دقیق در بخش کشاورزی دیم و آبی به طور جداگانه با رویکردهای اعتبار سنجی مناسب است.

۲- با توجه به نبود دستگاههای رطوبت سنج عمق خاک در مناطق دیم کشور مطالعه رطوبت لایه پایینی خاکها فعالیتهای پژوهشی را با مانع مواجه می کند، تصاویر ماهواره هم محدودیت هایی دارند لذا پژوهشهای آینده برای حصول نتیجه ای بهتر در مناطق دیم نیاز به رفع این مشکل دارند.

۳- ابرها در تصاویر ماهواره ای در شفافیت نتیجه تأثیر منفی می گذارند، لذا قبل از هر گونه تحقیق باید دقیقاً شناسایی شوند. موانع ابری در تصاویر ترکیبی ۱۶ روزه LST و NDVI منجر به کاهش دقت و صحت نتایج برای پایش خشکسالی می شوند. مهم است که پژوهشگران بدانند مشاهدات ماهواره ای آذربایجانغربی درنیمه اول فصل بهار بویژه ماههای فروردین و اردیبهشت نامناسب است و با موانع ابری مواجه است. لذا برای رصد مراحل رشد پوشش گیاهی دامنه ماهواره ای زیادی برای غلبه بر این مشکل لازم است.

منابع

- باعقیده، محمد. (۱۳۸۶). بررسی و پایش خشکسالی استان اصفهان با استفاده از تصاویر چندزمانه ای NOAA/AVHRR و سیستم اطلاعات جغرافیایی؛ پایان نامه دکتری، دانشکده علوم جغرافیایی، دانشگاه خوارزمی تهران.
- پرویز، لاله، خیاط خلقی، مجید، ولی زاده، خلیل، عراقی نژاد، شهاب، ایران نژاد، پرویز. (۱۳۹۰). بررسی کارایی شاخص های منتج از فناوری سنجش از دور در ارزیابی خشکسالی هواشناسی؛ مطالعه موردی: حوضه آبریز سفیدرود، ۱۴۷-۱۶۴.
- مفاخری، امید، خالدی، شهریار، شمسی پور، علی اکبر، فلاحتی خوشجی، مصطفی، کرمانی، آذر. (۱۳۹۵). تحلیل خشکسالی با استفاده از شاخص NDVI در دشت قروه و دهگلان. نشریه تحقیقات کاربردی علوم جغرافیایی دانشگاه خوارزمی، ۱۶(۴۱): ۷۷-۷۹.
- علوی پناه، سید کاظم، (۱۳۸۲)، کاربرد سنجش از دور در علوم زمین، انتشارات دانشگاه تهران، چاپ اول، تهران.
- فشایی، محمد، ثنائی نژاد، سیدحسین، داوری، کامران. (۱۳۹۴). تخمین رطوبت خاک با استفاده از تصاویر سنجنده مودیس (مطالعه موردی: محدوده دشت مشهد). آب و خاک، ۲۹(۶)، ۱۷۳۵-۱۷۴۸.
- مباشری، حمیدرضا، حسن خاوریان، پرویز ضیاییان، غلامعلی کمالی، (۱۳۹۶). برآورد تبخیر و تعرق با استفاده از تصاویر ماهواره Terra سنجنده MODIS در منطقه عمومی گرگان، فصلنامه مدرس علوم انسانی، ۱۱:۱، حسینقلی زاده، علی؛ پرویز ضیائیان فیروزآبادی و محمدتوکل صبور. (۱۳۹۵). مقایسه الگوریتم های مختلف برآورد دمای سطح زمین با استفاده از تصاویر سنجش از دور، دومین کنفرانس ملی مهندسی فناوری اطلاعات مکانی، دانشکده مهندسی نقشه برداری دانشگاه صنعتی خواجه نصیرالدین طوسی، تهران.
- Bhuiyan, C., Singh, R.P., Kogan, F.N., 2006. **Monitoring Drought Dynamics in the Aravalli Region (India) Using Different Indices Based on Ground and Remote Sensing Data**, International Journal of Applied Earth Observation and Geo information, 8: 289-302.
- Byun, H. R., and Wilhite, D. A, 1999. **Objective quantification of drought severity and duration**, J. Climate., 12, 2747- 2756.
- Carlson, T. N., R. R. Gillis and E. M. Perry. 1994. **A method to make use of thermal infrared temperature and NDVI measurements to infer surface soil water content and fractional vegetation cover**. Remote Sensing Reviews, 9(1-2): 161-173.
- Cunha, A. P. M., R. C. Alvala, C. A. Nobre and M. A. Carvalho., 2015. **Monitoring vegetative drought dynamics in the Brazilian semiarid region**. Agricultural and Forest Meteorology, 4: 494-505.
- Dai, A., 2013. **Increasing drought under global warming in observations and models**. Clim. Chang Nat. <https://doi.org/10.1038/nclimate1633>.
- Fashaei, M, Sanaei Nejad. S. H, Davari. K., 2015. **Estimation of Soil Moisture Using Modis Sensor Imagery (Case Study: Area of Mashhad Plain)**. Water and soil, 29 (6), 1735-1748.
- Feldhake, C.M., Glenn, D. M. and Peterson, D. L., 1996. **Pasture soil surface temperature response to drought**. Agronomy Journal, 88(4): 652-656.
- French, A.N., Schmugge, T. J. and Kustas, W. P., 2000. **Discrimination of senescent vegetation using thermal emissivity contrast**. Remote Sensing of Environment, 74(2): 249-254.

- Gillies, R.R., Carlson, T. N., Cui, J., Kustas, W. P. and Humes, K. S., 1997. **A verification of the 'triangle' method for obtaining surface soil water content and energy fluxes from remote measurement of the Normalized Difference Vegetation Index (NDVI) and surface radiant temperature.** International Journal of Remote Sensing, 18, 3145-3166.
- Han, L., P. Wang, H. Yang, S. Liu and J. Wang. 2006. **Study on NDVI-T s space by combining LAI and evapotranspiration.** Science in China Series D, 49(7): 747-754.
<https://doi.org/10.1016/j.scitotenv.2019.134585>.
- Idso, S.B., Jackson, R.D., Pinter, P.J. and Hatfield, J.L., 1981. **Normalizing the stress degree-day parameter for environmental variability.** Agricultural Meteorology, 24: 44-indices. Remote Sensing of Environment, 90(1): 53-62.
- Jackson, R.D., Reginato, R. J. and Idso, S. B., 1977. **Wheat canopy temperature: a practical tool for evaluating water requirements.** Water Resources Research, 13: 651-656.
- Jensen, John R., 2014. **Remote Sensing of the Environment An Earth Resource Perspective, Second Edition, Pearson Education Limited Edinburgh, Gate Harlow Essex CM20 2JE** England and Associated Companies throughout the world.
- Keshavarz, M. R., M. Vazifedoust and A. Alizadeh. 2014. **Drought monitoring using a soil wetness deficit index (SWDI) derived from MODIS satellite data.** Agricultural water management 132: 37-45
- Khaledi. Sh. Mafakhri. O, Shamsipour. A. A., 2016. **Drought analysis using the NDVI index in Qorveh and Dehgolan plain.** Journal of Applied Geosciences Research, Kharazmi University No.77-79.
- Kogan, F. N., 1995. **Application of vegetation index and brightness temperature for drought detection.** Advances in Space Research, 15(11): 91-100.
- Liu, Q. ,S. Zhang, H. Zhang et al., 2011, **Monitoring drought using composite drought indices based on remote sensing,** Science of the Total Environment.
- Liu, X., Pan, Y., Zhu, X., Yang, T., Bai, J., Sun, Z., 2018. **Drought evolution and its impact on the crop yield in the North China Plain.** J. Hydrol. 564, 984-996.
- Liu, X., Zhu, X., Pan, Y., Zhao, A., Li, Y., 2015. **Spatiotemporal changes of cold surges in Inner Mongolia between 1960 and 2012.** J. Geogr. Sci. <https://doi.org/10.1007/s11442-015-1166-y>.
- Luquet, D., Vidal, A., Dauzat, J., Begue, A., Oliso, A. and Clouvel, P., 2004. **Using directional TIR measurements and 3D simulations to assess the limitations and opportunities of water stress.**
- Mannstein, H., 1987. **Surface energy budget, surface temperature and thermal inertia.** In R. A. Vaughan, & D. Reidel (Eds.), **Remote Sensing Applications in Meteorology and Climatology.** NATO Advanced Study Institutes Series. Series C, Mathematical and Physical Sciences, vol 201.
- A. Vaughan, & D. Reidel (Eds.), **Remote Sensing Applications in Meteorology and Climatology.** NATO Advanced Study Institutes Series. Series C, Mathematical and Physical Sciences, vol 201.
- Mannstein, H., 1987. **Surface energy budget, surface temperature and thermal inertia.** In R. Mishra, A.K., Singh, V.P., 2010. **A review of drought concepts.** J. Hydrol. <https://doi.org/10.1016/j.jhydrol.2010.07.012>.
- Moran, M. S., T. R. Clarke, Y. Inoue and A. Vidal. 1994. **Estimating crop water deficit using the relation between surface-air temperature and spectral vegetation index.** Remote Sensing of Environment, 49(3): 246-263.

- Nemani, R., L. Pierce and S. Running. 1992. **Developing satellite-derived estimates of surface moisture status.** Journal of Applied Meteorology, 32: 548-557.
- Parida, R.B., 2006. **Analysing the effect of severity and duration of Agricultural drought on crop performance using Terra/MODIS Satellite data and Meteorological data.** Master Thesis. 9-22.
- Parviz, L., Khayyat khalghi, M., Araghinezhad, Sh. & Irannezhad, P., 2011. **Performance Evaluation of the Indicators of Remote Sensing Technology in Meteorological Drought Assessment; Case study: Basin of the Sefid river.** 147-164.
- Qin, Z. and Karnieli, A., 1999. **Progress in the remote sensing of land surface temperature and ground emissivity using NOAA-AVHRR data.** International Journal of Remote Sensing, 20: 2367- 2393.
- Rouse, J. W., Haas, R. H., Schell, J. A., and D. W. Deering, 1974, **Monitoring Vegetation Systems in the Great Plains with ERTS, Proceedings, 3rd Earth Resource Technology Satellite (ERTS) Symposium.** 1, 48-62.
- Sandholt I., Rasmussen K., and Andersen J, 2002. **A Simple Interpretation of the Surface Temperature/Vegetation Index Space for Assessment of Surface Moisture Status,** Remote Sens. Environ. 79(2), 213-224.
- Shen, T., 2004. **Study on Hydrological process of Land and Atmosphere system in Semiarid Agricultural region.** Doctoral thesis, Chiba University Japan, 69-89.
- Sohrabinia M. 2012, **Geostatistical analysis of surface temperature and in-situ soil moisture using LST time-series from MODIS, International Archives of the Photogrammetry, Remote Sensing and Spatial Information Sciences, Volume XXXIX-B7, 2012, XXII ISPRS Congress, 25 August – 01 September 2012, Melbourne, Australia.**
- Tang, H. and Z. L. Li., 2013. **Quantitative Remote Sensing in Thermal Infrared: Theory and Applications.** Springer Science & Business Media.
- Tian, F., Martin Brandt , Yi Y. Liu , Aleixandre Verger , Torbern Tagesson , Abdoul A. Diouf , Kjeld Rasmussen , Cheikh Mbow , Yunjia Wang , Rasmus Fensholt., 2016. **Remote sensing of vegetation dynamics in drylands: Evaluating vegetation optical depth (VOD) using AVHRR NDVI and in situ green biomass data over West African Sahel.** Remote Sensing of Environment, 177:265-276.
- Troofleau, D., and Seggaard, H., 1998. **Deriving surface water status in the sahel from the pathfinder AVHRR Land data set.** Physics, Chemistry, Earth. 23 (4): 421-426.
- Verstraeten, W.W., Veroustraete, F. and Feyen, J., 2001. **Monitoring water limited carbon mass fluxes over Europe using NOAA-AVHRR imagery and an adapted PEM Model C-FIX.**
- Wagner, W., Lemoine, G., Rott, H., 1999. **A method for estimating soil moisture from ERS Scatterometer and soil data.** Environ. Remote Sens. [https://doi.org/10.1016/S0034-4257\(99\)00036-X](https://doi.org/10.1016/S0034-4257(99)00036-X).
- Wan, Z., Wang, P., and Li, X., 2004. **Using MODIS Land Surface Temperature and Normalized Difference Vegetation Index products for monitoring drought in the southern Great Plains, USA.** International Journal of Remote Sensing, 25(1): 61-72.
- Wan, Z., Zhang, Y., Zhang, Q. and Li, Z., 2002. **Validation of the land -surface temperature products retrieved from Terra Moderate Resolution Imaging Spectrometer data.** Remote sensing of Environment, 83: 163-180.
- Wang, P. X., X. W. Li, J. Y. Gong and C. Song. 2001. **Vegetation temperature condition index and its application for drought monitoring.** Geoscience and Remote Sensing Symposium, 2001. IGARSS'01. IEEE 2001 International (1): 141-143. IEEE.

- Wang, S., Xingguo, M., Zhengjia, L., Shi, H. 2018. **Assessment of droughts and wheat yield loss on the North China Plain with an aggregate drought index (ADI) approach.** Article in Journal of Agricultural Meteorology Ecological Indicators ۱۰۷ (۲۰۱۸)– ۱۱۶۰ January 2018.
- Wilhite, D.A., Glantz, M.H., 1985. **Understanding the drought phenomenon: the role of definitions.** Water Int. <https://doi.org/10.1080/02508068508686328>.
- Wu, J., Liu, Z., Yao, H., Chen, X., Chen, X., Zheng, Y., He, Y., 2018. **Impacts of reservoir operations on multi-scale correlations between hydrological drought and meteorological drought.** J. Hydrol. <https://doi.org/10.1016/j.jhydrol.2018.06.053>.
- Yao, N., Li, Y., Li, N., Yang, D., Ayantobo, O.O., 2018. **Bias correction of precipitation data and its effects on aridity and drought assessment in China over 1961–2015.** Sci. Total Environ. 639, 1015–1027. <https://doi.org/10.1016/j.scitotenv.2018.05.243>.